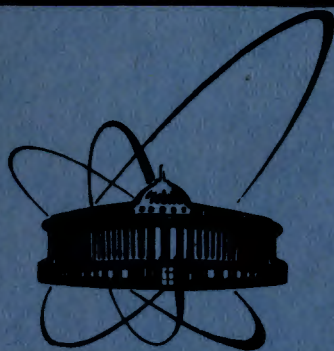


9/1-84



ОБЪЕДИНЕННЫЙ  
ИНСТИТУТ  
ЯДЕРНЫХ  
ИССЛЕДОВАНИЙ  
дубна

260/84

13-83-707

Л.И.Абашидзе, В.В.Авдейчиков<sup>1</sup>, А.И.Богданов<sup>1</sup>,  
В.А.Будилов, Ю.Зломанчук<sup>2</sup>, Н.К.Жидков,  
В.Д.Майсюков<sup>3</sup>, В.А.Никитин,  
П.В.Номоконов, А.А.Повторейко

ПОПРАВКИ НА ЯДЕРНОЕ ВЗАИМОДЕЙСТВИЕ  
ПРИ РЕГИСТРАЦИИ  
ЛЕГКИХ ЯДЕР КРИСТАЛЛОМ NaI

Направлено в журнал  
"Приборы и техника эксперимента"

<sup>1</sup> Радиевый институт им. В.Г.Хлопина, Ленинград.

<sup>2</sup> Институт экспериментальной физики  
Варшавского университета.

<sup>3</sup> Союзный НИИ приборостроения, Москва.

1983

## 1. ВВЕДЕНИЕ

Для идентификации легких ядер и измерения их энергии в интервале 10÷200 МэВ/нуклон удобным прибором является телескоп из  $\Delta E$ -детекторов, в качестве которых используются, соответственно, кремниевый полупроводниковый детектор и сцинтилляционный кристалл NaI(Tl) толщиной до 100 мм. Доля частиц, испытавших неупругое ядерное взаимодействие в кристалле NaI, может достигать 30% и более, и в точных экспериментах ее следует учитывать. В литературе отсутствуют сведения для таких поправок, за исключением данных для протонов<sup>1,2</sup>.

В настоящей работе приведены экспериментальные результаты измерения потерь на ядерное взаимодействие в кристалле NaI для изотопа гелий-3 в диапазоне энергий 70÷430 МэВ и сделан теоретический расчет ядерных потерь для изотопов водорода и гелия.

## 2. КОНСТРУКЦИЯ ТЕЛЕСКОПА

Телескоп /рис.1/ состоит из кремниевого полупроводникового  $\Delta E$ -детектора толщиной 1,8 мм и сцинтиллятора NaI(Tl) толщиной 70 мм и диаметром 30 мм. Кремниевый детектор имеет центральную рабочую зону диаметром 15 мм и охранное кольцо шириной 2,5 мм. Кольцо уменьшает неоднородность электрического поля на краях рабочей зоны и позволяет точно задавать ее площадь. С центральной зоной и с охранного кольца /между которыми имеется зазор 0,5 мм/ сигналы снимаются независимо, что позволяет проверить краевые эффекты для телескопа.



Рис.1. Телескоп, сконструированный из кремниевого  $\Delta E$ -детектора и NaI-счетчика.

Энергетическая калибровка кремниевого детектора выполняется с помощью  $\alpha$ -источника с энергией 5,485 МэВ, помещенного со стороны обратного контакта.

Сцинтиллятор NaI(Tl) оптически соединен с фотоумножителем Ф9У-85 через световод из оргстекла длиной 15 мм, изготовленный

в виде усеченного конуса. Используется стандартный промышленный сцинтиллятор, в корпусе которого мы заменили входное окно на более тонкое. Оно имеет толщину 0,06 г/см<sup>2</sup>.

Счетчик NaI испытан с помощью  $\alpha$ -источника Cs<sup>137</sup>, дающего монохроматическую линию 660 кэВ. Разрешение счетчика составляет 10%. Среднее значение амплитуды и дисперсия не зависят от места облучения кристалла.

Для уменьшения нелинейности и зависимости усиления фотоумножителя от загрузок сигнал снимается с шестого динода<sup>3</sup> и усиливается зарядочувствительным предусилителем. Все остальные диноды и анод находятся под напряжением - 20 В относительно шестого динода.

В измерениях используется электроника спектрометра ядер отдачи Лаборатории высоких энергий<sup>4/4</sup> на линии с ЭВМ СМ-3. В каждом событии, регистрируемом телескопом, записываются амплитуды трех сигналов: с центральной зоны кремниевого детектора, его охранного кольца и счетчика NaI.

## 3. ПОСТАНОВКА ЭКСПЕРИМЕНТА

Работа проведена на пучке медленного вывода синхрофазотрона ОИЯИ. Ускоренные ядра  $^3\text{He}$  выводятся при значении магнитного поля ускорителя 1 кГс и имеют энергию 464 МэВ. На пути пучка частиц постоянно находится слой вещества толщиной 2 г/см<sup>2</sup>, что снижает энергию до 438 МэВ. Измерения сделаны при пяти значениях энергии  $^3\text{He}$  на входе в кристалл NaI: 428; 387; 295; 172 и 70 МэВ. Энергия задается набором медных поглотителей и определяется двумя независимыми способами: расчетным путем по ионизационным потерям в меди и в кремнии<sup>5/5</sup> и по измеренной величине  $\Delta E$ -потерь в кремниевом детекторе. Результаты совпадают с точностью 1%.

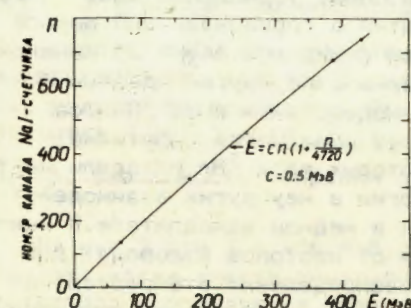


Рис.2. Зависимость амплитуды сигнала NaI-счетчика от энергии ядер гелия-3.

На рис.2 показана зависимость амплитуды сигнала NaI-счетчика от энергии ядер  $^3\text{He}$  и ее аппроксимация квадратичной функцией. Отклонение характеристики счетчика от линейной зависимости не превышает 5%.

На рис.3 приведено двухмерное распределение амплитуд сигналов  $\Delta E$ -детектора и NaI-счетчика для случая, когда перед телескопом стоит медная пластина толщиной 9 мм, понижающая энергию ядер на входе в кристалл до 295 МэВ. Пятно с большой плотностью событий соответствует полному иони-

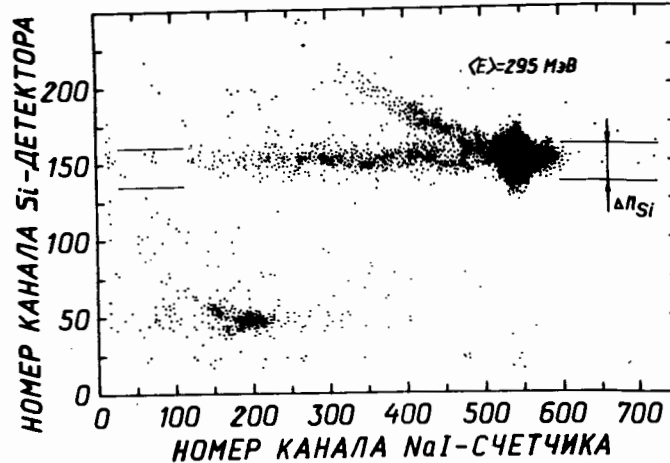


Рис.3. Двухмерное распределение амплитуд сигналов  $\Delta E$ -детектора и NaI-счетчика. Пучок гелия-3 перед телескопом замедляется медной пластиной толщиной 9 мм.  $\Delta n_{Si}$  - ширина полосы, в которой отбираются события для построения одномерного амплитудного спектра счетчика NaI / см. рис.4.

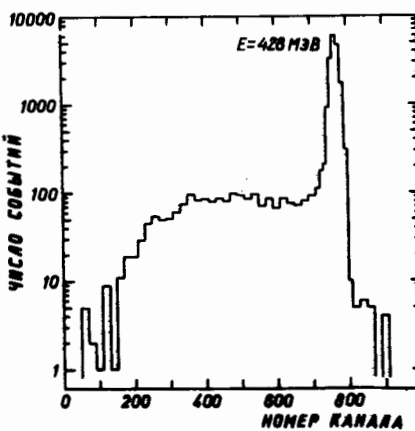


Рис.4. Распределение амплитуд сигналов NaI-счетчика для ядер гелия-3 с энергией 428 МэВ на входе в кристалл NaI.

зационному торможению ядер  ${}^3\text{He}$ . События в горизонтальной полосе слева с шириной  $\Delta n_{Si} = 25$  каналов связаны с неупругим ядерным взаимодействием в NaI. Полоса сверху образуется событиями, в которых ядра  ${}^3\text{He}$  потеряли часть энергии в неупругих взаимодействиях в медном замедлителе. В нижнем левом углу группируются события от изотопов водорода. Для дальнейшего анализа из двухмерного распределения отбираются события, лежащие в горизонтальной полосе  $\Delta n_{Si}$ , и по ним строится одномерный амплитудный спектр NaI-счетчика. Такие спектры получены для всех пяти энергий пучка. Один из них при энергии  ${}^3\text{He}$  428 МэВ показан на рис.4. Основной пик имеет ширину на полувысоте 3,3%.

На рис.5 при  $E = 406 \text{ МэВ}$  стрелкой отмечено значение  $f$  для случая, когда вместо центральной /рабочей/ зоны кремниевого детектора используется охранное кольцо. Из этих данных следует, что место прохождения частиц через рабочую часть телескопа не оказывается на результате измерений величины  $f$  в пределах 5%- ошибки. Это, в частности, показывает, что частицы пучка не покидают кристалл из-за многократного кулоновского рассеяния в нем.

#### 4. ВЫЧИСЛЕНИЕ ПОПРАВОК НА ЯДЕРНОЕ ВЗАИМОДЕЙСТВИЕ ${}^3\text{He}$ ПО АМПЛИТУДНЫМ СПЕКТРАМ СЧЕТЧИКА NaI

Амплитудный спектр сигналов NaI-счетчика можно разложить на две компоненты:  $\phi(W, E) = \phi_1(W, E) + \phi_2(W, E)$ . Здесь  $E$  - средняя энергия частиц на входе в кристалл,  $W$  - энергия, потерянная частицами на ионизацию. Функция  $\phi_1$  описывает основной пик, в который попали частицы, потерявшие всю энергию на ионизацию:  $\phi_1 = c_1 \cdot \exp(-t^2/2)$ ;  $t = (W - E)/\sigma$ .

Функция  $\phi_2$  задает распределение частиц, испытавших неупругое ядерное взаимодействие и попавших в "хвост" амплитудного распределения в области  $W < E$ . Как видно из рис.4, функция  $\phi_2(W, E)$  слабо меняется в области слева от пика  $W < E$ . Поэтому в окрестности главного пика и под самим пиком ( $W \approx E$ ) ее можно записать

$$\text{в виде: } \phi_2 = c_2 \left( \frac{1}{2} - F(t) \right); c_2 = \phi(W, E) \Big|_{W=E-5\sigma}; F(t) = \frac{1}{\sqrt{2\pi}} \int_0^{\frac{x}{\sigma}} e^{-\frac{u^2}{2}} du.$$

Основная часть частиц  $N_2$  с неполной потерей энергии на ионизацию вычисляется суммированием экспериментального распределения в пределах  $0 \leq W \leq E - 5\sigma$ . Оставшаяся часть  $N'_2$  получается интегрированием функции  $\phi_2$ :

$$N'_2(W_{\max}, E) = \int_{E-5\sigma}^{W_{\max}} \phi_2(W, E) dW. \quad /1/$$

Искомая величина  $f$  - поправка на неупругое ядерное взаимодействие /или, точнее, - на выбывание частиц из основного пика/ есть  $f(W_{\max}) = (N_2 + N'_2)/N_0$ , где  $N_0$  - полное число частиц в спектре

$N_0 = \int_0^{\infty} \phi(W, E) dW$ . Верхний предел интегрирования  $W_{\max}$  в формуле /1/ следует выбирать с учетом аппаратурного разрешения, формы энергетического спектра регистрируемых частиц и других конкретных условий эксперимента. Предельное /максимальное/ значение поправки  $f = f(\infty) \equiv f(W_{\max}) \Big|_{W_{\max} \rightarrow \infty}$  мы приводим в табл.1 и на рис.5. Зависимость поправки от  $W_{\max}$  дана в табл.2.

На рис.5 при  $E = 406 \text{ МэВ}$  стрелкой отмечено значение  $f$  для случая, когда вместо центральной /рабочей/ зоны кремниевого детектора используется охранное кольцо. Из этих данных следует, что место прохождения частиц через рабочую часть телескопа не оказывается на результате измерений величины  $f$  в пределах 5%- ошибки. Это, в частности, показывает, что частицы пучка не покидают кристалл из-за многократного кулоновского рассеяния в нем.

Рис.5. Поправки на ядерные потери /вероятности неупругого ядерного взаимодействия/ изотопов водорода и гелия в кристалле NaI. Приведены данные для  ${}^3\text{He}$ , полученные экспериментально в настоящей работе. Остальные кривые - результат расчета /см. табл.3/. Стрелкой указано значение  $f({}^3\text{He})$ , полученное при отборе событий с охранного кольца Si - детектора.

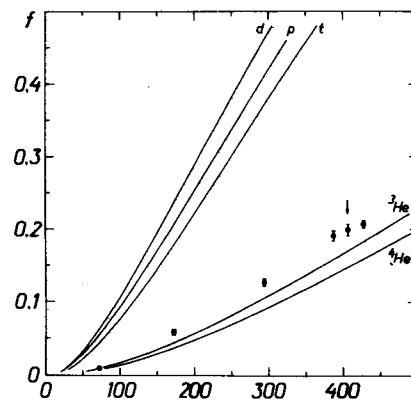


Таблица 1

Поправка на неупругое ядерное взаимодействие  ${}^3\text{He}$  с NaI, измеренная в данной работе

| E /МэВ/ | f           |
|---------|-------------|
| 73      | 0,009+0,02  |
| 173     | 0,058+0,004 |
| 295     | 0,126+0,005 |
| 387     | 0,191+0,007 |
| 428     | 0,207+0,005 |

Таблица 2

Зависимость поправки f от предела интегрирования  $W_{\max}$  в формуле /1/ для различных энергий E пучка  ${}^3\text{He}$ .

| E - $W_{\max}$ ,<br>МэВ | f( $W_{\max}$ ) / f |      |      |      |      |
|-------------------------|---------------------|------|------|------|------|
|                         | E /МэВ/             |      |      |      |      |
|                         | 429                 | 387  | 294  | 172  | 70   |
| 0                       | 0,99                | 0,98 | 0,97 | 0,95 | 0,95 |
| 12                      | 0,96                | 0,92 | 0,86 | 0,76 | 0,79 |
| 18                      | 0,94                | 0,88 | 0,80 | 0,63 | 0,67 |
| 24                      | 0,91                | 0,84 | 0,73 | 0,51 | 0,56 |
| 30                      | 0,89                | 0,79 | 0,65 | 0,37 | 0,44 |

## 5. ТЕОРЕТИЧЕСКИЙ РАСЧЕТ ПОПРАВОК НА ЯДЕРНОЕ ВЗАИМОДЕЙСТВИЕ

В настоящем разделе поправка f вычисляется теоретически для ядер  ${}^{1,2,3}\text{H}$ ,  ${}^{3,4}\text{He}$ .

В слое вещества толщиной dx поток частиц N испытывает  $dN = N n \sigma_{in} dx$ . Следовательно,  $\frac{dN}{dx} = N n \sigma_{in} \frac{(-dE/dx)}{J(E)}$ . Здесь n - число ядер в единице объема вещества,  $\sigma_{in}$  - сечение неупругого ядерного взаимодействия,  $J(E) = \frac{dE}{dx}$  - плотность ионизационных потерь. Из этого соотношения следует формула для вероятности ядерного взаимодействия в конечном слое, в котором частица теряет на ионизацию в среднем энергию  $E-E_1$ :

$$f = \frac{\Delta N}{N} = 1 - \exp \left( -n \int_{E_1}^E \sigma_{in} \frac{dE}{J} \right).$$

/2/

Таким образом, для получения искомой величины f нужно знать функции  $\sigma_{in}(E)$  и  $J(E)$ . В литературе имеются достаточно полные сведения о взаимодействии протонов с различными ядрами. По другим легким нуклидам опубликованные данные скучны и недостаточны для решения нашей задачи. Поэтому мы вычислили функцию  $\sigma_{in}$  по модели Глаубера /6/ в оптическом приближении. Исходным материалом для этого расчета служат известные из эксперимента полные сечения взаимодействия протонов с протонами и нейтронами /7/ и формфакторы ядер /распределение нуклонов в ядрах/ /6,8/. В расчетах учитывается кулоновский барьер между сталкивающимися ядрами, который приводит к занулению сечения в области ниже некоторой энергии  $E_1$  /9/. Эта энергия служит пределом интегрирования в формуле /2/. Полученная нами функция  $\sigma_{in}$  приведена в табл.3. Ионизационные потери J(E) вычисляются методом, описанным в работах /5/. Поправка на ядерное взаимодействие f, вычисленная по формуле /2/, приведена в табл.4. Она совпадает с экспериментальными данными для протонов /2/ в пределах ~4%. Расчетные данные для  ${}^3\text{He}$  ниже экспериментальных данных, полученных в настоящей работе, на 20%. Это, вероятно, связано с неточностью формфактора  ${}^3\text{He}$ , который использован в расчетах.

Мы сделали еще одну оценку величины f, основываясь на данных работы /10/, где приведено несколько значений сечения изотопов водорода и гелия на различных ядрах в интересующем нас диапазоне энергий. Интерполируя зависимость сечений от атомного номера, получаем оценку сечений на ядрах натрия и йода /табл.5/. Полагая, что энергетическая зависимость  $\sigma_{in}(E)$  для легких нуклидов при равной энергии на нуклон такая же, как для протонов /2/, вычисляем вероятность f ядерных взаимодействий в кристалле NaI. Результаты приведены в табл.6. Для ядер  ${}^3\text{He}$  рассчитанные таким образом величины f на 20% больше экспериментальных значений, полученных в настоящей работе. Это различие может возникнуть

Таблица 5

Сечение неупругого ядерного взаимодействия легких ядер с NaI, полученное по модели Глаубера

| $E$<br>(МэВ) | $\sigma_{in}$ , мб |      |      |               |               |
|--------------|--------------------|------|------|---------------|---------------|
|              | $p$                | $d$  | $t$  | $^3\text{He}$ | $^4\text{He}$ |
| 20           | 1790               | 3460 | 3200 | 1823          | 1885          |
| 30           | 1930               | 3741 | 3482 | 2604          | 2671          |
| 40           | 1927               | 3773 | 3567 | 2931          | 2994          |
| 60           | 1891               | 3676 | 3539 | 3140          | 3239          |
| 80           | 1809               | 3496 | 3462 | 3175          | 3285          |
| 100          | 1738               | 3372 | 3353 | 3134          | 3281          |
| 150          | 1639               | 3106 | 3144 | 3009          | 3160          |
| 200          | 1570               | 2896 | 2998 | 2902          | 3059          |
| 250          | 1528               | 2774 | 2865 | 2791          | 2978          |
| 300          | 1512               | 2677 | 2768 | 2709          | 2891          |
| 400          | 1541               | 2549 | 2652 | 2609          | 2756          |
| 500          | 1652               | 2472 | 2565 | 2532          | 2680          |

Таблица 4

| $E$<br>(МэВ) | $f$   |       |       |               |               |
|--------------|-------|-------|-------|---------------|---------------|
|              | $p$   | $d$   | $t$   | $^3\text{He}$ | $^4\text{He}$ |
| 20           | 0,004 | 0,004 | 0,002 | 0,000         | 0,000         |
| 30           | 0,010 | 0,011 | 0,007 | 0,001         | 0,001         |
| 40           | 0,018 | 0,021 | 0,014 | 0,002         | 0,002         |
| 60           | 0,039 | 0,045 | 0,030 | 0,006         | 0,005         |
| 80           | 0,063 | 0,073 | 0,051 | 0,011         | 0,009         |
| 100          | 0,091 | 0,105 | 0,075 | 0,017         | 0,014         |
| 150          | 0,168 | 0,195 | 0,144 | 0,035         | 0,029         |
| 200          | 0,252 | 0,289 | 0,222 | 0,057         | 0,047         |
| 250          | 0,336 | 0,383 | 0,302 | 0,081         | 0,069         |
| 300          | 0,418 | 0,472 | 0,381 | 0,108         | 0,092         |
| 400          | 0,569 | 0,628 | 0,530 | 0,166         | 0,143         |
| 500          | 0,696 | 0,748 | 0,656 | 0,228         | 0,199         |

Сечение неупругого взаимодействия дейтерия,  $^3\text{He}$ ,  $^4\text{He}$  с NaI, полученное интерполяцией данных работы /11/. Ошибка величин  $\sigma_{in}$  составляет ~15%

| Изотоп        | $E$ , МэВ | $\sigma_{in}$ (Na), мб | $\sigma_{in}$ (I), мб |
|---------------|-----------|------------------------|-----------------------|
| d             | 160       | 922                    | 2592                  |
| $^3\text{He}$ | 315       | 896                    | 2852                  |
| $^4\text{He}$ | 240       | 979                    | 2893                  |

Таблица 6

Поправка на неупругое ядерное взаимодействие легких ядер с NaI, вычисленная на основании экспериментальных сечений /см.текст/

| $E$<br>/МэВ/ | $f$   |       |       |               |               |
|--------------|-------|-------|-------|---------------|---------------|
|              | $p$   | $d$   | $t$   | $^3\text{He}$ | $^4\text{He}$ |
| 25           | 0,007 | 0,002 | 0,000 | 0,000         | 0,000         |
| 50           | 0,029 | 0,027 | 0,013 | 0,003         | 0,001         |
| 75           | 0,059 | 0,066 | 0,045 | 0,011         | 0,006         |
| 100          | 0,093 | 0,111 | 0,085 | 0,022         | 0,014         |
| 150          | 0,171 | 0,212 | 0,177 | 0,048         | 0,034         |
| 200          | 0,257 | 0,318 | 0,278 | 0,078         | 0,059         |
| 250          | 0,345 | 0,423 | 0,377 | 0,112         | 0,086         |
| 300          |       | 0,522 | 0,472 | 0,148         | 0,116         |
| 350          |       | 0,611 | 0,560 | 0,186         | 0,147         |
| 400          |       | 0,689 | 0,639 | 0,225         | 0,179         |
| 450          |       | 0,756 | 0,708 | 0,265         | 0,213         |
| 500          |       | 0,810 | 0,767 | 0,306         | 0,247         |

из-за погрешности данных работы /11/ и неточности предположения о подобии функций  $\sigma_{in}$  ( $E$ ) для протонов и ядер.

## 6. ЗАКЛЮЧЕНИЕ

В настоящей работе измерены и теоретически вычислены поправки на ядерные потери изотопов водорода и гелия в кристалле NaI. Приведены таблицы сечений  $\sigma_{in}$  и поправок  $f$ , удобные в практике обработки экспериментальных данных. Метод расчета применим для любых пучков и счетчиков и при любой энергии.

## ЛИТЕРАТУРА

1. Measday D.F., Richard-Serre C. Nucl.Instr. and Meth., 1969, 76, p.45.
2. Goulding C.A., Rogers J.G. Nucl.Instr. and Meth., 1978, 153, p.511.
3. Cohn C.E. IEEE, 1974, NS-21, No.1, p.146.
4. Абашидзе Л.И. и др. ОИЯИ, 1-83-185, Дубна, 1983.
5. Barkas W.H., Berger M.J. Nat.Acad.Sci.-Nat.Res.Council Publication 1133, Nucl.Sci.Ser., Report No.39, 1964; Стародубцев С.В., Ромаков А.М. Прохождение заряженных частиц через вещество. Изд-во АН УзССР, Ташкент, 1962; Northcliffe L.C., Schilling R.F. Nucl.Data Tables, 1970, vol.A7, p.233; Ziegler I.F. Nucl.Instr.Meth., 1980, 168, p.17.
6. Barshay S. et al. Phys.Rev., 1975, C11, p.360; Барашенков В.С., Тонеев В.Д. Взаимодействия высокозергетических частиц и атомных ядер с ядрами. Атомиздат, М., 1972; Franco V., Glauber R.J. Phys.Rev., 1966, 142, p.1195; Czyz W., Maximon L.C. Ann.Phys., 1969, 52, p.59.
7. Барашенков В.С. Сечения взаимодействия элементарных частиц. "Наука", М., 1966.
8. Элтон Л. Размеры ядер. ИИЛ, М., 1962; Sick I. et al. Phys.Lett., 1976, B64, p.33.
9. Vas L.C. et al. Phys.Rev., 1974, C11, p.464.
10. Millburn G.P. et al. Phys.Rev., 1954, 95, p.1268.

Рукопись поступила в издательский отдел  
13 октября 1983 года.

Абашидзе Л.И. и др.

Поправки на ядерное взаимодействие  
при регистрации легких ядер кристаллом NaI

13-83-707

Приводятся экспериментальные результаты измерения потерь на ядерное взаимодействие в кристалле NaI для изотопа  $^3\text{He}$  в диапазоне энергий 70÷430 МэВ. Эксперимент выполнен с помощью Si - NaI(Tl) - телескопа на выведенном пучке синхрофазотрона ОИЯИ. Сделан теоретический расчет ядерных потерь для изотопов водорода и гелия. Результаты сведены в таблицы, удобные в практике обработки экспериментальных данных.

Работа выполнена в Лаборатории высоких энергий ОИЯИ.

Препринт Объединенного института ядерных исследований, Дубна 1983

Abashidze L.I. et al.

Corrections to Nuclear Interaction

at Registration of Light Particles by a Crystal NaI

13-83-707

Reaction losses of  $^3\text{He}$  in NaI have been measured in the 70-430 MeV energy region. The measurements were performed using JINR synchrophasotron  $^3\text{He}$ -beam and Si-Na(Tl) telescope. Results of theoretical calculations of reactions losses for hydrogen and helium isotopes in NaI are also presented.

The investigation has been performed at the Laboratory of High Energies, JINR.

Preprint of the Joint Institute for Nuclear Research. Dubna 1983

Перевод О.С.Виноградовой.